

## 北沙参中一个新香豆素苷

赵 亚, 原 忠\*

(沈阳药科大学 中药学院 中药分析教研室, 辽宁 沈阳 110016)

**摘要:**为了研究北沙参的化学成分,本文通过大孔树脂吸附柱色谱、Sephadex LH-20及开放反相 ODS柱色谱进行化合物的分离,利用多种波谱技术鉴定化合物结构。分离得到 9个化合物,鉴定为: begaptol 5-O- $\beta$ -D-gentioside (1)、(7R, 8S)-dehydroniconiferyl alcohol-4, 9-di-O- $\beta$ -D-glucoside (2)、橙皮素 A (3)、(-)-seco-isolariciresinol 4-O- $\beta$ -D-glucopyranoside (4)、白花前胡苷 (5)、花椒毒酚 8-O- $\beta$ -D-吡喃葡萄糖苷 (6)、5'-硫甲基腺苷 (7)、腺苷 (8)、色氨酸 (9)。化合物 1为新化合物,化合物 2和 7为首次从该属植物中分离得到。

**关键词:** 北沙参; 香豆素苷; begaptol 5-O- $\beta$ -D-gentioside

中图分类号: R284.1 文献标识码: A 文章编号: 0513 - 4870(2007)10 - 1070 - 04

## A new coumarin glycoside from *Glehnia littoralis*

ZHAO Ya, YUAN Zhong\*

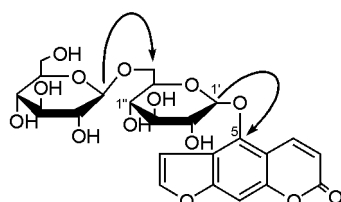
(Department of Analysis of Traditional Chinese Medicine, School of Traditional Chinese Materia Medica, Shenyang Pharmaceutical University, Shenyang 110016, China)

**Abstract:** To study the chemical constituents from *Glehnia littoralis*, macroreticular resin column chromatography, repeated column chromatography on Sephadex LH-20 and reverse phase ODS were used to isolate the compounds whose structures were elucidated based on spectroscopic data (ESI-MS, 1D and 2D NMR). A new coumarin glycoside was isolated and identified as: begaptol 5-O- $\beta$ -D-gentioside (1), along with eight known compounds: (7R, 8S)-dehydroniconiferyl alcohol-4, 9-di-O- $\beta$ -D-glucoside (2), cirtusin A (3), (-)-seco-isolariciresinol 4-O- $\beta$ -D-glucopyranoside (4), baihuqianhuside (5), xanthotoxol 8-O- $\beta$ -D-glucopyranoside (6), 5'-methylthioadenosine (7), adenosine (8), L-tryptophan (9). Compound 1 is a new coumarin glycoside, compounds 2 and 7 were isolated from this genus for the first time.

**Key words:** *Glehnia littoralis*; coumarin glycoside; begaptol 5-O- $\beta$ -D-gentioside

北沙参为伞形科植物珊瑚菜 *Glehnia littoralis* Fr. Schmidt ex Miq. 的干燥根。该植物主要分布于山东、辽宁、河北、浙江、江苏、广东、福建、台湾等地,生于海边、沙滩或为栽培。夏秋两季采挖,除去须根,洗净,稍晾,置沸水中烫后除去外皮,或洗净直接干燥。本品性甘,味微苦,微寒,归肺、胃经。有养阴清肺、益胃生津之功效。主要用于肺热、燥咳、劳嗽、痰血和热病津伤口渴<sup>[1]</sup>。文献<sup>[2-6]</sup>报道北沙参主要含有香豆素类、聚炔类、木脂素类、脂肪酸等化学成

分。本文采用大孔吸附柱色谱、Sephadex LH-20 及开放 ODS柱色谱等从北沙参乙醇提取物的水溶性部分得到 9个化合物并鉴定其结构。其中化合物 1为新化合物,化合物 2和 7为首次从该属植物中分离得到。



**Figure 1** Structure and the key HMBC correlations of compound 1

收稿日期: 2007-05-14.

基金项目: 辽宁省教育厅高等学校科学研究项目(2004FL117).

\*通讯作者 Tel: 86 - 24 - 23986469,

E-mail: yuanzhong@syphu.edu.cn

**化合物 1** 白色粉末,  $[\alpha]_D^{20} = -5.0$  ( $c 0.1$ , MeOH)。ESI-MS给出准分子离子峰  $[M + Na]^+$   $m/z$  549.0 和  $[M + Cl]^+$   $m/z$  560.8。根据 HR-ESI-MS 显示准分子离子峰  $[M + Cl]^+$   $m/z$  561.1003 ( $C_{23}H_{26}O_{14}Cl$ , 计算值为 561.1011), 推出其分子式为  $C_{23}H_{26}O_{14}$ 。

$^1H$  NMR (300 MHz, DMSO- $d_6$ ) 谱中低场区给出 5 个烯质子信号  $\delta$ : 6.37 (1H, d,  $J = 9.8$  Hz), 8.50 (1H, d,  $J = 9.8$  Hz), 7.49 (1H, s), 7.37 (1H, d,  $J = 2.2$  Hz), 7.97 (1H, d,  $J = 2.2$  Hz), 提示为 5 位或 8 位氧取代的呋喃型香豆素<sup>[2,3]</sup>。 $^1H$  NMR 谱还给出两个糖端基质子信号  $\delta$  4.96 (1H, d,  $J = 7.5$  Hz), 4.20 (1H, d,  $J = 7.5$  Hz)。

$^{13}C$  NMR (75 MHz, DMSO- $d_6$ ) 谱给出 23 个碳, 其中 11 个信号归属为呋喃香豆素母核, 余下 12 个糖基信号, 结合  $^1H$  NMR 谱推出其为呋喃香豆素双糖苷。化合物经酸水解, 与标准糖对照品共高效薄层色谱 (co-HP-TLC), 仅检测出葡萄糖。与文献<sup>[7]</sup>报道的 bergaptol- $O$ - $\beta$ -D-glucopyranoside 的  $^1H$  NMR,  $^{13}C$  NMR 谱数据比较, 基本一致, 只多了一组葡萄糖基信号, 且一组葡萄糖基 6 位碳信号向低场位移, 由此可推测两葡萄糖 1-6 位相连。

在 HMBC 谱中, 观察到糖的端基质子信号  $\delta$  4.96 (H-1') 与  $\delta$  147.3 (C-5),  $\delta$  4.20 (H-1'') 与  $\delta$  69.1 (C-6') 有远程相关性, 确定该化合物为 5 位双葡萄糖基取代的呋喃香豆素苷, 且双葡萄糖 1-6 位相连。

至此, 确定该化合物的结构如图 1 所示, 根据  $^1H$ - $^1H$  COSY 谱中所观察到的 H-3/H-4, H-9/H-10, 以及两个糖上的质子之间的相关峰, 并结合 HSQC 和 HMBC 谱数据, 确定了该结构各碳氢信号的归属和 C-H 远程偶合情况(表 1)。

**化合物 1** 被确定为 bergaptol 5- $O$ -[ $\beta$ -D-glucopyranosyl-(1→6)- $\beta$ -D-glucopyranosyl], 命名为 bergaptol 5- $O$ - $\beta$ -D-gentioside, 为新化合物。

## 实验部分

Shimadzu UV-2201 可见紫外光谱仪, Perkin-Elmer 241 MC 旋光仪, Agilent LC-MSD Trap-SL 质谱仪, QSTAR LCQ 高分辨质谱仪, Bruker ARX-300 或 Bruker ARX-600 型核磁共振仪 (TMS 内标), 大孔树脂 DI01 (天津市海光化工有限公司), Sephadex LH-20 (Pharmacia 公司), ODS (YMC\* GEL, 75  $\mu m$ ), 所用试剂均为 AR 级。

**Table 1**  $^1H$  NMR and  $^{13}C$  NMR data of compound 1 in DMSO- $d_6$

No.	HSQC		HMBC
	$\delta_C$	$\delta_H$	
2	160.2		3, 4-H
3	112.9	6.37 (1H, d, $J = 9.8$ Hz)	
4	140.2	8.50 (1H, d, $J = 9.8$ Hz)	
4a	107.6		3, 8-H
5	147.3		4, 1'-H
6	115.4		8, 9, 10-H
7	157.3		2, 6, 9-H
8	95.1	7.49 (1H, s)	
8a	151.8		4, 8-H
9	106.1	7.37 (1H, d, $J = 2.2$ Hz)	8, 10-H
10	146.8	7.97 (1H, d, $J = 2.2$ Hz)	9-H
1'	103.9	4.96 (1H, d, $J = 7.5$ Hz)	2', 6'-H
2'	73.9	3.43 (1H, m)	
3'	76.1	3.59 (1H, m)	5'-H
4'	70.1	3.20 (1H, m)	2'-H
5'	76.9	3.11 (1H, m)	1', 3'-H
6'	69.1	4.08 (1H, d, $J = 10.1$ Hz) 3.62 (1H, m)	1''-H
1''	103.5	4.20 (1H, d, $J = 7.5$ Hz)	2'', 6'', 6'-H
2''	73.7	2.99 (1H, m)	
3''	76.1	3.29 (1H, m)	5''-H
4''	70.1	3.07 (1H, m)	2''-H
5''	76.9	3.07 (1H, m)	1'', 3''-H
6''	61.1	3.66 (1H, d, $J = 5.9, 11.2$ Hz) 3.43 (1H, m)	

北沙参干燥根于 2006 年 8 月采集于山东省莱阳高格庄胡城村, 经沈阳药科大学高级工程师吴维春老师鉴定。

## 1 提取与分离

北沙参干燥根 (12.0 kg) 经 95% 乙醇 (60 L × 3, 2, 2 和 1.5 h) 回流提取后, 继用水 (60 L × 2, 1.5 和 1 h) 提取, 减压回收溶剂, 得到 95% 乙醇提取物和水提取物。将 95% 乙醇提取物混溶于水中, 依次用石油醚、乙酸乙酯萃取, 分别得到石油醚溶部分、乙酸乙酯溶部分和水溶部分。水溶部分 (184 g) 经大孔吸附树脂 DI01 柱色谱,  $H_2O$ -EtOH 系统梯度洗脱, 得到 25% 乙醇洗脱流分: Fr. 2 (18 g); 50% 乙醇洗脱流分: Fr. 3 (10 g)。

Fr. 2 (18 g) 经 Sephadex LH-20 柱色谱, 水洗脱, 得到流分 Fr. 8 - 20, Fr. 21 - 23。Fr. 8 - 20 经 ODS 柱色谱,  $H_2O$ -MeOH 系统 (10: 90 → 20: 80) 梯度洗脱, 得到化合物 9 (20 mg)。Fr. 21 - 23 经 ODS 柱色谱,  $H_2O$ -MeOH 系统 (20: 80 → 50: 50) 梯度洗脱, 得到化合物 8 (12 mg)。

Fr. 3 (10 g) 经 Sephadex LH-20 柱色谱, H<sub>2</sub>O-MeOH 系统梯度洗脱, 得到流分 Fr. 3. 1 - Fr. 3. 4。Fr. 3. 1 经 Sephadex LH-20 柱色谱, 水洗脱, 得到流分 Fr. 10 - 16, Fr. 17 - 30。Fr. 10 - 16 经 ODS 柱色谱, H<sub>2</sub>O-MeOH 系统 (20:80→30:70) 梯度洗脱, 得到化合物 1 (10 mg), 化合物 2 (8 mg), 化合物 5 (26 mg), 化合物 6 (17 mg)。Fr. 17 - 30 经 ODS 柱色谱, H<sub>2</sub>O-MeOH 系统 (20:80→50:50) 梯度洗脱, 得到化合物 3 (35 mg), 化合物 4 (4 mg), 化合物 7 (8 mg)。

## 2 结构鉴定

**化合物 1** 白色粉末,  $[\alpha]_D^{20} = 5.0^\circ$  (*c* 0.1, MeOH)。positive ESI-MS *m/z* 549 [M + Na]<sup>+</sup>, 503, 413, 386, 301, 139; negative ESI-MS *m/z* 561 [M + Cl]<sup>-</sup>, 485, 425, 339; negative HR-ESI-MS *m/z* 561.1003 ([M + Cl]<sup>-</sup>, 计算值为 561.1011)。<sup>1</sup>H NMR 和 <sup>13</sup>C NMR 数据见表 1。鉴定为 bergaptol 5-O-[β-D-glucopyranosyl-(1 → 6)-β-D-glucopyranosyl], 命名为 bergaptol 5-O-β-D-gentibioside。

**化合物 2** 白色无定型粉末,  $[\alpha]_D^{20} = 10.1^\circ$  (*c* 0.54, MeOH)。positive ESI-MS *m/z* 705 [M + Na]<sup>+</sup>, 621, 607, 591, 563, 551, 515, 503; negative ESI-MS *m/z* 717 [M + Cl]<sup>-</sup>, 613, 519。<sup>1</sup>H NMR (600 MHz, CD<sub>3</sub>OD) δ: 7.04 (1H, d, *J* = 8.3 Hz, H-5), 6.99 (2H, br s, H-2, 6), 6.94 (1H, br s, H-2'), 6.85 (1H, br d, *J* = 8.3 Hz, H-6), 6.44 (1H, d, *J* = 15.0 Hz, H-7'), 6.21 (1H, dt, *J* = 15.0, 4.9 Hz, H-8'), 5.58 (1H, d, *J* = 6.0 Hz, H-7), 4.86 (1H, d, *J* = 6.7 Hz), 4.26 (1H, d, *J* = 7.7 Hz), 4.06 (3H, m, H-9, 9'), 3.81 (3H, s, 3'-OCH<sub>3</sub>), 3.74 (3H, s, 3-OCH<sub>3</sub>), 3.66 (3H, m, H-6'', 6'', 9), 3.58 (1H, m, H-8), 3.43 (2H, m, H-6'', 6''), 3.24 (3H, m, H-2'', 5'', 5''), 3.15 (3H, m, H-3'', 3'', 4''), 3.02 (2H, m, H-2''', 4''')。

<sup>13</sup>C NMR (150 MHz, CD<sub>3</sub>OD) δ: 149.0 (C-3), 147.1 (C-4'), 146.3 (C-4), 143.7 (C-3'), 135.2 (C-1), 130.8 (C-1'), 128.9 (C-7'), 128.6 (C-5'), 128.3 (C-8'), 117.9 (C-6), 115.5 (C-5), 115.4 (C-6'), 110.7 (C-2), 110.6 (C-2'), 103.1 (C-1''), 100.2 (C-1''), 86.6 (C-7), 77.1 (C-5''), 77.1 (C-5'''), 76.9 (C-3''), 76.9 (C-3''), 73.6 (C-2''), 73.3 (C-1''), 70.5 (C-9), 70.1 (C-4''), 69.7 (C-4''), 61.7 (C-9'), 61.1 (C-6''), 60.7 (C-6''), 55.8 (3-OCH<sub>3</sub>), 55.8 (3'-OCH<sub>3</sub>), 50.8 (C-8)。以上数据与文献报道的 (7*R*, 8*S*)-dehydroridiconiferyl alcohol-4, 9-di-O-β-D-glucoside<sup>[8]</sup>的数据一致。

**化合物 3** 淡黄色粉末。<sup>1</sup>H NMR (600 MHz, CD<sub>3</sub>OD) δ: 7.10 (1H, d, *J* = 1.9 Hz, H-2), 7.09 (1H, d, *J* = 8.2 Hz, H-5'), 6.98 (1H, br s, H-2'), 6.94 (1H, br d, *J* = 8.2 Hz, H-6), 6.86 (2H, m, H-5, 6'), 6.50 (1H, d, *J* = 15.8 Hz, H-7'), 6.24 (1H, dt, *J* = 15.8, 5.6 Hz, H-8'), 4.86 (1H, d, *J* = 5.7 Hz, H-7), 4.81 (1H, d, *J* = 7.0 Hz, H-1''), 4.36 (1H, m, H-8), 4.19 (1H, d, *J* = 5.6 Hz, H-9'), 3.84 (1H, br d, *J* = 12.1 Hz, H-6''), 3.83 (1H, m, H-9), 3.80 (3H, s, 3-OCH<sub>3</sub>), 3.79 (3H, s, 3'-OCH<sub>3</sub>), 3.76 (1H, m, H-9), 3.67 (1H, dd, *J* = 12.1, 3.7 Hz, H-6''), 3.48 (1H, mH-2''), 3.45 (1H, mH-5''), 3.39 (1H, mH-3''), 3.39 (1H, mH-4'')。<sup>13</sup>C NMR (150 MHz, CD<sub>3</sub>OD) δ: 151.8 (C-3'), 150.5 (C-3), 148.8 (C-4'), 147.4 (C-4), 137.7 (C-1), 132.9 (C-1'), 131.5 (C-7'), 128.5 (C-8'), 121.1 (C-6), 120.6 (C-6'), 118.6 (C-5), 117.6 (C-5'), 112.7 (C-2'), 111.2 (C-2), 103.1 (C-1''), 85.9 (C-8), 78.2 (C-3''), 77.8 (C-5''), 74.9 (C-2''), 73.8 (C-7), 71.3 (C-4''), 63.7 (C-9'), 62.5 (C-6''), 62.2 (C-9), 56.6 (3-OCH<sub>3</sub>), 56.4 (3'-OCH<sub>3</sub>)。以上数据与文献报道的橙皮素 A<sup>[9]</sup>的数据一致。

**化合物 4** 白色无定型粉末。与三氯化铁试剂反应阳性, 示为酚类化合物。<sup>1</sup>H NMR (300 MHz, DMSO-d<sub>6</sub>) δ: 7.05 (1H, d, *J* = 8.3 Hz, H-5), 6.78 (1H, d, *J* = 8.3 Hz, H-5'), 6.73 (2H, br s, H-2, 2'), 6.72 (1H, br d, *J* = 8.3 Hz, H-6), 6.61 (1H, br d, *J* = 8.3 Hz, H-6'), 4.93 (1H, d, *J* = 7.0 Hz, H-1''), 3.79 (6H, s, 3, 3'-OCH<sub>3</sub>), 3.49 (4H, m, H-9, 9'), 3.36 ~ 3.41 (6H, m, H-2' ~ H-6''), 2.65 (4H, m, H-7, 7'), 1.95 (2H, m, H-8, 8')。以上数据与文献报道的 (-)-seco-isolariciresinol 4-O-β-D-glucopyranoside<sup>[6]</sup>的数据一致。

**化合物 5** 白色粉末。<sup>1</sup>H NMR (300 MHz, CD<sub>3</sub>OD) δ: 7.63 (1H, dd, *J* = 8.5, 1.9 Hz, H-6), 7.57 (1H, d, *J* = 1.7 Hz, H-2), 7.21 (1H, d, *J* = 8.5 Hz, H-5), 5.02 (1H, d, *J* = 7.2 Hz, H-1'), 3.89 (3H, s, 3-OMe), 3.86 (1H, d, *J* = 5.2 Hz, H-6'), 3.68 (1H, dd, *J* = 12.0, 5.2 Hz, H-6'), 3.34 ~ 3.53 (4H, m, H-2' ~ H-5'), 3.01 (2H, q, *J* = 7.3 Hz, H-8), 1.16 (3H, t, *J* = 7.3 Hz, H-9)。<sup>13</sup>C NMR (75 MHz, CD<sub>3</sub>OD) δ: 201.9 (C-7), 152.3 (C-4), 150.7 (C-3), 132.8 (C-1), 123.8 (C-6), 116.3 (C-5), 112.5 (C-2), 101.9 (C-1'), 78.3 (C-5'), 77.9 (C-3'), 74.8 (C-2'),

71.3(C-4'), 62.5(C-6'), 56.7(3-OMe), 32.3(C-8), 8.8(C-9)。以上数据与文献报道的白花前胡苷<sup>[10]</sup>的数据一致。

**化合物 6 白色粉末**, mp 210~211 °C。<sup>1</sup>H NMR (300 MHz, DMSO-d<sub>6</sub>) δ: 8.14(1H, d, J = 9.6 Hz, H-4), 8.10(1H, d, J = 2.2 Hz, H-10), 7.69(1H, s, H-5), 7.09(1H, d, J = 2.2 Hz, H-9), 6.44(1H, d, J = 9.6 Hz, H-3), 5.62(1H, d, J = 7.3 Hz, H-1')。<sup>13</sup>C NMR (75 MHz, CD<sub>3</sub>OD) δ: 159.9(C-2), 147.9(C-10), 146.2(C-7), 145.3(C-4), 142.1(C-8a), 128.8(C-8), 126.0(C-6), 116.4(C-4a), 114.3(C-3), 114.0(C-5), 106.9(C-9), 101.9(C-1'), 77.6(C-5'), 76.8(C-3'), 73.9(C-2'), 69.6(C-4'), 60.5(C-6')。

以上数据与文献报道的花椒毒酚 8-O-β-D-吡喃葡萄糖苷<sup>[11]</sup>的数据一致。

**化合物 7 白色无定型粉末**。<sup>1</sup>H NMR (300 MHz, DMSO-d<sub>6</sub>) δ: 8.37(1H, s, H-8), 8.16(1H, s, H-2), 7.31(2H, br s, 6-NH<sub>2</sub>), 5.89(1H, d, J = 6.0 Hz, H-1'), 4.75(1H, dd, J = 5.7, 11.2 Hz, H-4'), 4.12(1H, m, H-3'), 4.03(1H, m, H-2'), 2.80(2H, dddd, J = 6.9, 13.9, 16.4 Hz, H-5), 2.05(3H, s, 5'-SMe)。以上数据与文献报道的 5'-硫甲基腺苷<sup>[12]</sup>的数据一致。

**化合物 8 白色无定型粉末**。<sup>1</sup>H NMR (300 MHz, DMSO-d<sub>6</sub>) δ: 8.33(1H, s, H-8), 8.13(1H, s, H-2), 7.35(2H, br s, 6-NH<sub>2</sub>), 5.86(1H, d, J = 6.6 Hz, H-1'), 4.75(1H, m, J = 5.2 Hz, H-4'), 4.14(1H, m, H-3'), 3.95(1H, m, H-2'), 3.66(1H, m, H-5), 3.56(1H, m, H-5)。以上数据与文献报道的腺苷<sup>[13]</sup>的数据一致。

**化合物 9 淡黄色粉末**, 苯三酮反应显紫红色。<sup>1</sup>H NMR (300 MHz, D<sub>2</sub>O) δ: 7.62(1H, d, J = 8.0 Hz, 4-H), 7.42(1H, d, J = 8.0 Hz, 7-H), 7.19(1H, s, 2-H), 7.16(1H, t, J = 8.0 Hz, 6-H), 7.08(1H, t, J = 8.0 Hz, 5-H), 3.93(1H, dd, J = 7.5, 4.8 Hz, 11-H), 3.32(1H, dd, J = 15.0, 7.5 Hz, 10-H), 2.98(1H, dd, J = 15.0, 4.8 Hz, 10-H)。<sup>13</sup>C NMR (75 MHz, CD<sub>3</sub>OD) δ: 177.2(CO), 139.1(C-8), 129.4(C-9), 127.7(C-2), 124.9(C-4), 122.2(C-5), 121.2(C-6), 114.7(C-7), 110.2(C-3), 57.8(C-11), 29.1

(C-10)。以上数据与文献报道的色氨酸<sup>[14]</sup>的数据一致。

## References

- [1] State Pharmacopoeia Commission of the People's Republic of China. Pharmacopoeia of the People's Republic of China (中华人民共和国药典) [S]. 2005 ed. Part I. Beijing: Chemical Industry Press, 2005: 66.
- [2] Sasaki H, Taguchi H, Endo T, et al. The constituents of *Glehnia littoralis* Fr. Schmidt ex Miq. Structure of a new coumarin glycoside, ostheno-7-O-β-gentiobioside [J]. Chem Pharm Bull, 1980, 28: 1847 - 1852.
- [3] Kitajima J, Okamura C, Ishikawa T, et al. Coumarin glycosides of *Glehnia littoralis* root and rhizoma [J]. Chem Pharm Bull, 1998, 46: 1404 - 1407.
- [4] Matsuura H, Saxena G, Farmer SW, et al. Antibacterial and antifungal polyine compounds from *Glehnia littoralis* ssp. *Leiocarpa* [J]. Planta Med, 1996, 62: 256 - 259.
- [5] Okuyama E, Hasegawa T, Fujimoto H, et al. Analgesic components of glehnia root (*Glehnia littoralis*) [J]. Nat Med (Tokyo), 1998, 52: 491 - 501.
- [6] Yuan Z, Tezuka Y, Fan WZ, et al. Constituent of the underground parts of *Glehnia littoralis* [J]. Chem Pharm Bull, 2002, 50: 73 - 77.
- [7] Fujimoto Y, Satoh M, Takeuchi N, et al. Cytotoxic acetylenes from *Panax quinquefolium* [J]. Chem Pharm Bull, 1991, 39: 521 - 523.
- [8] Tsutomu W, Toshio M, Akira U. Phenylethanoid and lignan glycosides from *Verbascum thapsus* [J]. Phytochemistry, 1992, 31: 961 - 965.
- [9] Miki K, Takehara T, Sasaya T, et al. Lignans of *Larix leptolepia* [J]. Phytochemistry, 1980, 19: 449 - 453.
- [10] Kong LY, Li X, Pei YH, et al. Isolation and structure elucidation of baihuqianhuside and Pd-C-I from *Peucedanum paeoniflorum* [J]. Acta Pharm Sin (药学学报), 1994, 29: 276 - 280.
- [11] Anun KJ, Santosh KS, Savitri DS. Some new constituents from heartwood of *Aegle marmelos* Corr. [J]. J Indian Chem Soc, 1991, 68: 452 - 454.
- [12] Bruce T, Kazumi H S, Delphi C, et al. Identification of the 5-methylthiopentosyl substituent in mycobacterium tuberculosis lipoarabinomannan [J]. Angew Chem Int Edit, 2004, 43: 3918 - 3922.
- [13] Ishikawa T, Segi Y, Kitajima J. Water-soluble constituents of *Glehnia littoralis* fruit [J]. Chem Pharm Bull, 2001, 49: 584 - 588.
- [14] Li LY, Deng ZW, Li J, et al. Chemical constituents from chinese marine sponge *Cinachyrella austaliensis* [J]. J Beijing Univ (北京大学学报), 2004, 36: 12 - 18.